

# 基于 iTransformer 的高频股价的趋势预测模型

黄春阳、夏泽洲

2024 年 6 月 14 日

## 摘要

近年来，人工智能技术已经被广泛应用于量化交易领域。金融市场的特点是噪声严重，难以从历史数据中得到未来的市场走势。为解决此问题，本文将价格走势预测问题建模为时序序列分类问题，利用 iTransformer[1] 模型，并使用 tick 级快照数据来进行训练和验证，模型表现优异。

## 1 问题定义

基于过去 100 个 ticks 的快照数据，预测一定时间后股票的走势。这个问题等效于一个三分类问题。

## 2 建模思路

目标问题是分类形式的预测问题，同时由于小数据集，模型容量不易过大，避免过拟合。由于这两个原因，本文选择将 iTransformer 应用至此问题上。iTransformer [1] 在预测任务中是最先进的模型。Transformer[2] 在计算机视觉、自然语言处理等领域具有广泛应用，而在多变量时序预测任务中通常不如线性模型。iTransformer 解释了这一问题的原因，如图1所示，传统的 Transformer 将一个时间截下的多个变量映射成一个词向量，由于这些变量具有的物理含义完全不同，抹去了多变量之间的相关性。iTransformer 改变了注意力机制的维度，将每个变量在时间维度上映射成一个词向量，获取不同变量之间的注意力，可以大大提高多变量时序预测的能力。

模型的整体架构如图2所示，伪代码如图所示，与 Transformer 的 encoder 结构相同，仅在注意力方向进行修改。

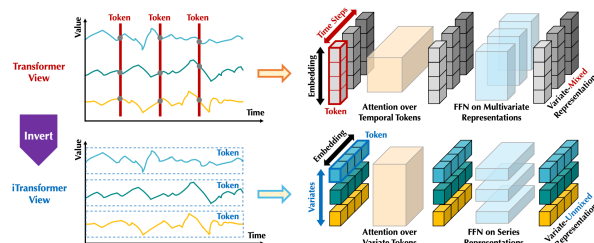


图 1: Transformer 和 iTransformer 的对比图

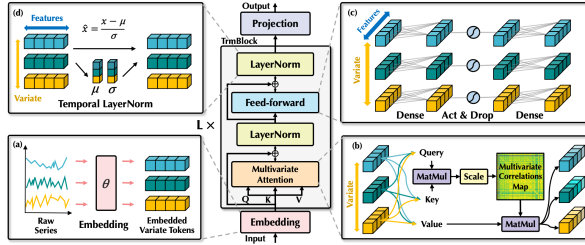


图 2: Overall structure of iTTransformer

**Algorithm 1** iTTransformer - Overall Architecture.

**Require:** Input lookback time series  $\mathbf{X} \in \mathbb{R}^{T \times N}$ ; input Length  $T$ ; predicted length  $S$ ; variates number  $N$ ; token dimension  $D$ ; iTTransformer block number  $L$ .

```

1:  $\mathbf{X} = \mathbf{X}.\text{transpose}$                                  $\triangleright \mathbf{X} \in \mathbb{R}^{N \times T}$ 
2:  $\triangleright$  Multi-layer Perceptron works on the last dimension to embed series into variate tokens.
3:  $\mathbf{H}^0 = \text{MLP}(\mathbf{X})$                                  $\triangleright \mathbf{H}^0 \in \mathbb{R}^{N \times D}$ 
4: for  $l$  in  $\{1, \dots, L\}$ : do  $\triangleright$  Run through iTTransformer blocks.
5:    $\triangleright$  Self-attention layer is applied on variate tokens.
6:    $\mathbf{H}^{l-1} = \text{LayerNorm}(\mathbf{H}^{l-1} + \text{Self-Attn}(\mathbf{H}^{l-1}))$        $\triangleright \mathbf{H}^{l-1} \in \mathbb{R}^{N \times D}$ 
7:    $\triangleright$  Feed-forward network is utilized for series representations, broadcasting to each token.
8:    $\mathbf{H}^l = \text{LayerNorm}(\mathbf{H}^{l-1} + \text{Feed-Forward}(\mathbf{H}^{l-1}))$        $\triangleright \mathbf{H}^l \in \mathbb{R}^{N \times D}$ 
9:    $\triangleright$  LayerNorm is adopted on series representations to reduce variates discrepancies.
10: End for
11:  $\hat{\mathbf{Y}} = \text{MLP}(\mathbf{H}^L)$                                  $\triangleright$  Project tokens back to predicted series,  $\hat{\mathbf{Y}} \in \mathbb{R}^{N \times S}$ 
12:  $\hat{\mathbf{Y}} = \hat{\mathbf{Y}}.\text{transpose}$                                  $\triangleright \hat{\mathbf{Y}} \in \mathbb{R}^{S \times N}$ 
13: Return  $\hat{\mathbf{Y}}$                                           $\triangleright$  Return the prediction result  $\hat{\mathbf{Y}}$ 
```

图 3: The pseudocode of overall structure

### 3 数据预处理

我们首先对数据进行预处理，包括检查数据完整性、观察数据分布并进行必要的特征工程。

#### 3.1 数据完整性检查

我们检查了数据集中是否存在缺失值或异常值，并确保所有日期和股票的数据文件都存在。

#### 3.2 数据分布观察

我们观察了与价格相关的特征，例如收盘价、中间价和买卖五档价格，并分析了它们在训练集中的分布情况，如图4。

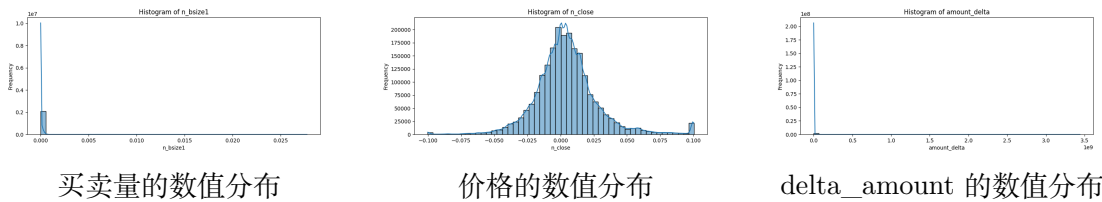


图 4: 三种特征的数值分布

#### 3.3 特征工程

我们对部分特征进行了变换，例如对成交金额进行对数变换，以改善其分布特性。

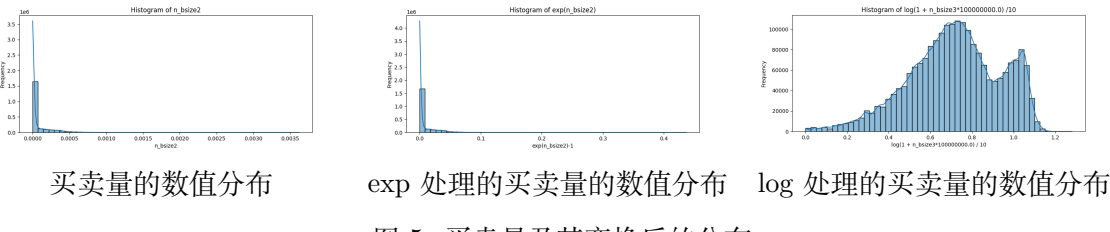


图 5: 买卖量及其变换后的分布

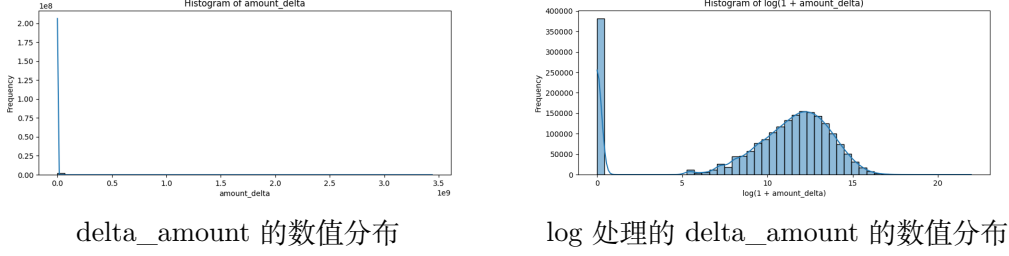


图 6: delta\_amount 及其变换后的分布

## 4 模型训练

， 并使用 Adam 优化器进行训练。我们还检查了模型的梯度性质，确保其收敛。

### 4.1 训练过程

我们将数据集按照时间维度划分为训练集、验证集和测试集，训练过程中通过详尽的日志记录来监控模型在各个训练周期的表现：

- 模型使用配置中指定的学习率，可以选择 Adam 或 SGD 优化器进行训练。
- 记录每个周期的训练损失、验证损失和测试损失，以监控过拟合和欠拟合情况。
- 在验证和测试阶段，记录性能指标如 F0.5 分数和准确率。
- 实现早停机制，如果验证性能没有改善，则停止训练，以防过拟合。

### 4.2 评估指标

模型的表现通过多个指标进行评估：

- **准确率**：模型预测标签的整体正确性。
- **F0.5 score**：一个平衡精确度和召回率的指标，偏重于精确度。
- **confusion matrix**：提供分类问题上预测结果的概览。
- **classification report**：包括每个类别的精确度、召回率和 F1 分数。

### 4.3 梯度监测

为了确保梯度的稳定的传播，我们使用 tensorboard 对训练过程的梯度进行统计。图 X 显示，模型的梯度传播稳定。

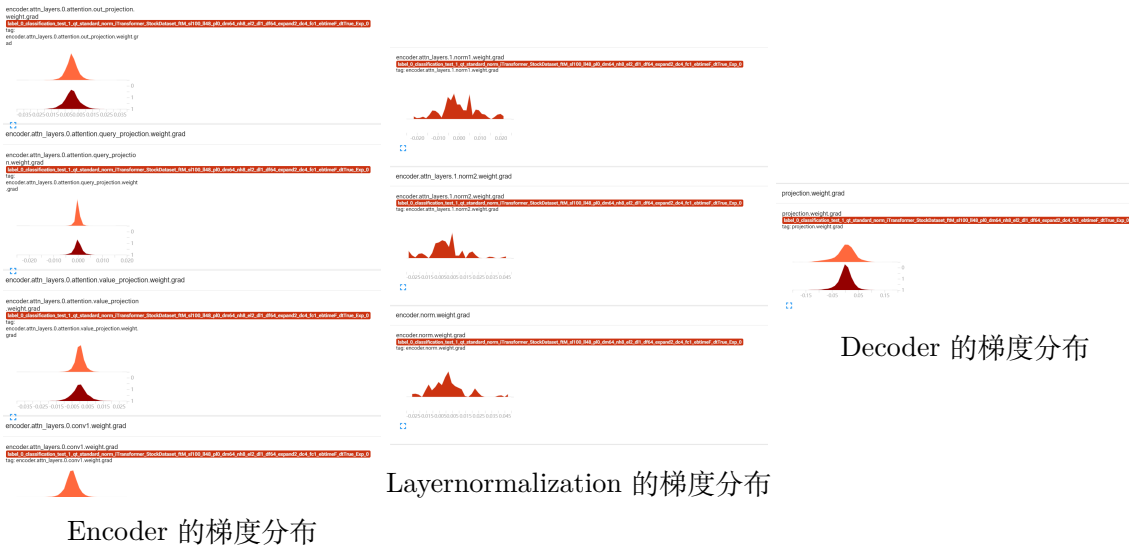


图 7: 买卖量及其变换后的分布

## 5 实验结果

我们对比了 iTTransformer 模型与其他几种时序序列预测模型，例如 Transformer[2]、TimesNet[3] 和 Deeplob[4]，并分析了不同超参数对模型性能的影响。

### 5.1 实验探究

为了优化我们的模型，我们做了许多的探究性实验。并用本地测试来考察模型的性能。测试时使用训练未用到的 70-78 日的全部十只股票的数据，并选取不同预测窗口的最佳结果，作为模型的表现。

#### 5.1.1 预处理方法的影响

如图4 所示，在原始数据中，部分特征的数量级过大或过小，不利于神经网络的梯度传播。为此我们使用一些单调增函数对这些特征进行预处理，使其既保持数值的相对大小，又使其数量级接近 1。

我们控制模型的其他参数不变，测试不同预处理方法的影响，结果如表1所示。

**exp\_log 的处理方法:** 所有的买卖量 (\*size):  $\exp(100 \times x) - 1$ ；成交量 ('amount\_delta'):  $\log(1 + x)$ ；报价不做处理。

```
df['size_columns'] = np.exp(100*df['size_columns']) - 1
df['amount_delta'] = np.log1p(df['amount_delta'])
```

**log\_log 的处理方法:** 所有的买卖量 (\*size):  $\log(1 + 10^8 \times x)$ ；成交量 ('amount\_delta'):  $\log(1 + x)$ ；报价不做处理。

```
df['size_columns'] = np.log1p(1e8 * df['size_columns'])
df['amount_delta'] = np.log1p(df['amount_delta'])
```

**times\_log 的处理方法:** 所有的买卖量 (\*size):  $100 \times x$ ; 成交量 ('amount\_delta'):  $\log(1+x)$ ; 报价不做处理。

```
df['size_columns'] = df['size_columns'] * 100
df['amount_delta'] = np.log1p(df['amount_delta'])
```

预处理方法	F0.5	pnl
exp_log	0.3892	52.43
log_log	0.3465	30.50
times_log	0.3772	41.77

表 1: 预处理方法

实验结果表明, 对买卖量数据的预处理方法中, exp 表现最好, times 次之, log1p 最差。我们猜测这可能是因为 exp 函数为凸函数, times 为线性函数, log1p 为凹函数。函数的凹凸属性影响了模型的预测能力。一个可能的解释如下, exp 函数对较大的数值更敏感, 而较大的买卖报单对价格的影响更敏感。

### 5.1.2 模型大小的影响

我们测试了不同层数和模型大小的超参数组合, 其中测试了两种不同的数据预处理方法。dm 表示模型的维度, el 表示注意力层的层数。实验表明, 对于 exp log 的数据预处理方法, dm 和 el 增大时, 模型的表现更好。对于 log log 的数据预处理方法, 模型的 dm 或 el 增大时会使得模型编号, 但是 dm 和 el 同时增大时导致结果变差, 这可能是因为发生了过拟合的现象。

预处理方法 exp_log			预处理方法 log_log		
模型大小	F0.5	pnl	模型大小	F0.5	pnl
dm=32,el=1	nan	nan	dm=32,el=1	0.3342	19.00
dm=32,el=2	0.3708	44.03	dm=32,el=2	0.3774	46.22
dm=64,el=1	0.3842	48.99	dm=64,el=1	0.3804	44.47
dm=64,el=2	0.3892	52.43	dm=64,el=2	0.3465	30.50

表 2: 模型大小

### 5.1.3 优化器的影响

选用 adam 和 sgd 优化器, 在其他条件不变的情况下测试, 结果如下所示, adam 的结果更好。

优化器	F0.5	pnl
adam	0.3465	30.50
sgd	0.3326	21.84

表 3: 优化器

### 5.1.4 滑动平均的影响

我们尝试对数据进行滑动平均，探究滑动窗口大小对模型预测能力的影响。特别的，滑动窗口为 1 时，等效于没有进行滑动平均。从表中可以看出，随着滑动平均的增加，模型的预测能力逐渐下降。我们认为，这是因为 itransformer 的信息利用能力较强，所以当模型输入的信息减少时，预测能力就会下降。

滑动窗口大小	1	2	5	10	15	20
F0.5	0.3465	0.3459	0.3326	0.3279	0.3267	0.3243
pnl	30.50	29.58	24.53	21.56	21.90	20.63

表 4: 滑动平均

### 5.1.5 噪声的影响

我们尝试对数据增加一些噪声，探究噪声强度对模型预测能力的影响。考虑到不同特征的物理含义不同，数量级存在较大差异，我们使用比例添加噪声，代码如下。

```
noise = np.random.normal(0, self.noise_amplitude, x.shape)
x = x * (1 + noise)
```

从表中可以看出，随着噪声强度的增加，模型的预测能力逐渐下降。我们认为，这是因为我们的模型没有过拟合，因此噪声的增加使得模型获取的信噪比更低，所以预测能力下降。

噪声幅度	0	0.05	0.1	0.2	0.3	0.4
F0.5	0.3465	0.3401	0.3297	0.3167	0.3292	0.3383
pnl	30.50	28.05	24.37	21.34	19.91	18.37

表 5: 噪声强度

### 5.1.6 训练 label 的影响

我们探究了不同训练指标对模型不同长度的序列预测能力的影响，结果如下所示。其中，label10,20,40,60 的训练参数相同，测试参数也想通。label5 的训练参数与之前一样，但少了一列 time 的数据，测试数据的数量也比之前更多一点。参数不完全一样的主要原因是时间有限。

从表中可以看出，无论是用窗口为 10,20,40 还是 60 的指标来进行训练，模型均对 60 steps 后有最强的预测能力。这可能说明，我们的模型擅长把握长距离的信息。

但是使用窗口为 5 的指标进行训练时，模型在窗口为 10 的时候 F0.5 表现最佳，窗口为 20 的时候 pnl 表现最佳，说明此时模型对短距离的信息把握能力较强。

二者之间的差别可能是不同训练参数的区别，也可能是引入了新的自变量'time'，或者测试量不同导致的，因此日后还需要更详细的研究和分析。

F0.5	predict				
train	5	10	20	40	60
10	0.3083	0.3921	0.3203	0.3660	0.3787
20	0.2570	0.3492	0.2907	0.3461	0.3609
40	0.2258	0.3044	0.2679	0.3473	0.3686
60	0.1996	0.2736	0.2393	0.3275	0.3618

表 6: 训练指标和预测能力对照表 (F0.5)

pnl	predict				
train	5	10	20	40	60
10	4.21	6.28	8.28	8.83	7.84
20	3.44	5.50	7.65	9.41	8.66
40	1.92	2.97	5.09	7.91	7.82
60	1.35	2.26	3.97	6.54	7.41

表 7: 训练指标和预测能力对照表 (pnl)

		predict				
train	type	5	10	20	40	60
5	F0.5	0.3291	0.3892	0.3079	0.3395	0.3505
5	pnl	36.44	48.26	52.43	43.41	36.60

表 8: 训练指标和预测能力对照表 (label5)

## 5.2 表现

在本地测试中, 我们模型最好的 F0.5 为 0.3892, pnl 为 48.26. 在公榜数据上, 我们的模型也表现更好, 如表 (9) 所示. 其中排名截止到 2024.6.14 12:00, 为截止提交的 12h 前. 排名是指选手的排名.

我们的模型在公榜上的结果比本地测试集的 F0.5 结果更好, 这可能是因为我们的模型泛化能力更强, 没有对数据过拟合.

指标	precision	recall	F0.5	pnl	pnl_average
数值	0.4203	0.5699	0.4265	87.49	0.0004339
排名	3	2	1	2	2

表 9: 公榜表现

## 6 结论

本实验表明, iTransformer 模型在金融中间价预测任务上具有良好的性能。未来可以进一步探索其他模型和特征工程方法, 以提高预测准确率。

## 参考文献

- [1] Yong Liu, Tengge Hu, Haoran Zhang, Haixu Wu, Shiyu Wang, Lintao Ma, and Mingsheng Long. itransformer: Inverted transformers are effective for time series forecasting. *arXiv preprint arXiv:2310.06625*, 2023.
- [2] Ashish Vaswani, Noam Shazeer, Niki Parmar, Jakob Uszkoreit, Llion Jones, Aidan N Gomez, Łukasz Kaiser, and Illia Polosukhin. Attention is All you Need. In *Advances in Neural Information Processing Systems*, volume 30. Curran Associates, Inc., 2017.
- [3] Haixu Wu, Tengge Hu, Yong Liu, Hang Zhou, Jianmin Wang, and Mingsheng Long. Timesnet: Temporal 2d-variation modeling for general time series analysis. In *International Conference on Learning Representations*, 2023.
- [4] Zihao Zhang, Stefan Zohren, and Stephen Roberts. Deeplob: Deep convolutional neural networks for limit order books. *IEEE Transactions on Signal Processing*, 67(11):3001–3012, June 2019.